

С 344.10

20/XII-67

M-151

ОБЪЕДИНЕННЫЙ  
ИНСТИТУТ  
ЯДЕРНЫХ  
ИССЛЕДОВАНИЙ

Дубна

P10 - 3575



Л А Б О Р А Т О Р И Я ВЫЧИСЛИТЕЛЬНОЙ ТЕХНИКИ  
и АВТОМАТИЗАЦИИ

Г.И. Макаренко, В.И. Мороз, И.С. Сайтов,  
А.П. Стельмах

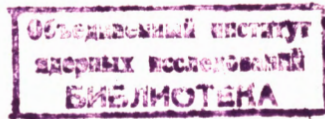
УПРОЩЕННЫЙ ВЫВОД УРАВНЕНИЙ СВЯЗИ,  
ИСПОЛЬЗУЕМЫХ ПРИ НАХОЖДЕНИИ ПАРАМЕТРОВ  
ЗАРЯЖЕННОЙ НЕИЗЛУЧАЮЩЕЙ ЧАСТИЦЫ МЕТОДОМ  
МАКСИМУМА ПРАВДОПОДОБИЯ

1967.

P10 - 3575

Г.И. Макаренко, В.И. Мороз, И.С. Сайтов,  
А.П. Стельмах

УПРОЩЕННЫЙ ВЫВОД УРАВНЕНИЙ СВЯЗИ,  
ИСПОЛЬЗУЕМЫХ ПРИ НАХОЖДЕНИИ ПАРАМЕТРОВ  
ЗАРЯЖЕННОЙ НЕИЗЛУЧАЮЩЕЙ ЧАСТИЦЫ МЕТОДОМ  
МАКСИМУМА ПРАВДОПОДОБИЯ



1°. В работе<sup>/1/</sup> рассматривается задача уточнения начальных оценок импульса  $P_0^*$  и угла  $\beta_e^*$ , имеющая целью получить наиболее эффективные оценки импульса и угла с учётом неоднородности магнитного поля, многократного рассеяния, ионизационных потерь и ошибок измерения координат.

Система уравнений для нахождения этих оценок получается путем разложения в ряд приращения  $\Delta\beta$  отдельно на каждом интервале следа. Это приводит к довольно сложным выражениям, расчёт которых на ЭВМ требует большого объема вычислений.

Однако, используя малость поправочного члена к основной компоненте магнитного поля в уравнении траектории, (см. уравнение (2), описывающее зависимость угла поворота  $\beta$  от длины дуги), мы можем перейти к более простому дифференциальному уравнению, аппроксимируя след и магнитное поле полиномами по степеням  $S$ . Указанная замена дифференциальных уравнений, с одной стороны, достаточно точна, а с другой стороны, она позволяет резко сократить объём вычислений на ЭВМ при составлении системы уравнений, из которых получаются наиболее эффективные оценки импульса  $P_0$  и угла  $\beta$ .

В приводимом ниже выводе уравнений связи, необходимых для получения наиболее эффективных оценок  $P_0$  и  $\beta$ , используются все предположения, принятые в<sup>/1/</sup>.

2°. Как показано в<sup>/1/</sup> (Приложение 2), из уравнения Лоренца для тормозящей среды

$$\frac{d\vec{p}}{dt} = \frac{e}{c} [\vec{V}, \vec{H}] + \frac{\vec{P}}{P} \frac{dP}{dt} \quad (1)$$

можно получить выражение для производной

$$\frac{d\beta}{ds} = \frac{e}{Pc} [-H_z + \operatorname{tg} \alpha (H_x \cos \beta + H_y \sin \beta)] \quad (2)$$

(здесь и далее используются обозначения, принятые в  $^{(1)}$ ).

Сумма, стоящая в квадратных скобках, зависит только от геометрии следа (т.е. от координат измеренных точек) и может быть с достаточной точностью найдена до определения импульса частицы.

Выражая импульс в единицах МЭВ/с, магнитное поле в кгс и вводя обозначение  $\frac{x}{Pc} = a$ , запишем (2) в виде

$$\frac{d\beta}{ds} = 0,3 a [-H_z + \operatorname{tg} \alpha (H_x \cos \beta + H_y \sin \beta)]. \quad (3)$$

Второй член в квадратных скобках формулы (3) обычно мал по сравнению с первым, поэтому величины  $\operatorname{tg} \alpha$ ,  $\sin \beta$  и  $\cos \beta$  можно определять с меньшей точностью, чем величину  $H_z$ .

Зная топографию магнитного поля и координаты измеренных точек на следе, можно определить величины  $H_x$ ,  $H_y$ ,  $H_z$  в каждой измеренной точке и с необходимой точностью аппроксимировать их многочленами по степеням  $s$ :

$$H_x = \sum_{k=0}^4 \ell_k s^k, \quad H_y = \sum_{k=0}^4 g_k s^k, \quad H_z = \sum_{k=0}^4 h_k s^k. \quad (4)$$

Из координат измеренных точек можно найти в виде многочленов также и величины

$$\cos \alpha = \sum_{k=0}^4 c_k s^k, \quad \operatorname{tg} \alpha = \sum_{k=0}^4 d_k s^k, \quad (5)$$

$$\cos \beta = \sum_{k=0}^4 m_k s^k, \quad \sin \beta = \sum_{k=0}^4 n_k s^k$$

$\frac{x}{Pc}$  Обращаем внимание читателя на то, что в  $^{(1)}$   $a_0 = -\frac{e}{P_0 c} \frac{H_{z0}}{\cos \alpha_0}$ , здесь же будет  $a_0 = \frac{1}{P_0 c}$ .

коэффициенты в разложениях (4) и (5) определяем по методу наименьших квадратов, а порядки многочленов, вообще говоря, следует выбирать с помощью какого-либо критерия качества приближения, например, критерия Гаусса. В случае, если многочлены четвертой степени не обеспечивают необходимой точности, следует взять многочлены других степеней (более высоких или, может быть, даже более низких) и провести вычисления, аналогичные приводимым ниже.

Если известно точное значение  $a_0$  ( $a$  в начальной точке) для данного следа, то интегрируя ионизационные потери, можно найти значение величины " $a$ " в любой точке следа и аппроксимировать ее многочленом вида

$$a = a_0 + \sum_{k=1}^4 b_k S^k, \quad (6)$$

где коэффициенты  $b_k$  зависят от  $a_0$ , массы частицы и тормозной способности рабочего вещества пузырьковой камеры.

Четвертая степень полинома (6) дает достаточно хорошую аппроксимацию для подавляющего большинства треков. Обозначая  $a_0 - a_0^* = A$ ,  $a_0^* = \frac{1}{P^* c}$ , считая, что  $|A| \ll |a_0^*|$ , и поэтому ограничиваясь линейными членами в разложении величин  $b_k$  в окрестности точки  $a_0^*$ , получим

$$b_k = b_k \Big|_{a_0 = a_0^*} + A \frac{db_k}{da_0} \Big|_{a_0 = a_0^*} \quad a = a_0^* + A + \sum b_k \Big|_{a_0 = a_0^*} S^k + A \sum \frac{db_k}{da_0} \Big|_{a_0 = a_0^*} S^k \quad (6')$$

В дальнейшем во всех формулах величины  $b_k$  и  $\frac{db_k}{da_0}$  берутся в точке  $a_0 = a_0^*$  и для краткости знак  $|a_0 = a_0^*$  опускаем.

Подставляя (4), (5) и (6') в (3), раскрывая скобки и пренебрегая членами выше четвертой степени по  $S$ , получим выражение для  $\frac{d\beta}{dS}$  в виде многочлена.

Таким образом, производится замена нелинейного относительно  $\beta(S)$  дифференциального уравнения (3), интегрирование которого требует большого числа операций на ЭВМ, на уравнение вида

$$\frac{d\beta}{dS} = F(S). \quad (7)$$

Очевидно, что (7) интегрируется достаточно легко. Мы считаем, что решение упрощенного уравнения (7) достаточно близко к решению точного уравнения (3). Близость решений обеспечивается тем, что для построения аппроксимирующих полиномов (4) и (5) мы использовали точки, измеренные на следе, которые могут отклоняться от кривой – решения точного уравнения – только за счёт многократного рассеяния частицы и ошибок измерения. Однако влияние многократного рассеяния и ошибок измерения на решение упрощенного уравнения (7) существенно ослабляется из-за малости второго слагаемого в правой части (3).

После интегрирования и учёта многократного кулоновского рассеяния на пути  $S_{i-1}$  получим

$$\beta(S) = \beta_{i-1}^* + \Delta_{i-1}, \quad (8)$$

где

$$\beta_{i-1}^* = \beta_0^* + \sum_{j=1}^5 k_{1j} S_{i-1}^j, \quad (9)$$

$$\Delta_{i-1} = B + \sum_{j=1}^{i-1} \delta_j + A \sum_{j=1}^5 m_{1j} S_j^j + \sum_{j=1}^5 k_{1j} (S_j^j - S_{i-1}^j), \quad (10)$$

$B = \beta_0 - \beta_0^*$  – искомая поправка начального угла  $\beta_0$ ,  $S_{i-1} \leq S \leq S_i$ ,  
 $\delta_j$  – изменение угла  $\beta$  за счёт многократного рассеяния на интервале от  $(j-1)$  до  $j$ -ой точки. Дисперсия величины  $\delta_j$  равна

$$D_{\delta_j} = \left( \frac{10}{PV} \right)^2 \frac{\Delta S_j}{X_0} \frac{1}{\cos^2 \alpha_j}, \quad (11)$$

где  $V$  – скорость частицы, а  $P$  – импульс в единицах Мэв/с.

$$k_{kj} = 0,3 \sum_{i=0}^{j-1} \frac{1}{i+1} b_{j-i-1} \left[ \sum_{r=0}^i d_r \sum_{\kappa=0}^{i-r} (\ell_{\kappa} m_{i-r-\kappa} + g_{\kappa} n_{i-r-\kappa}) - h_i \right], \quad (12)$$

$$m_{ij} = 0,3 \sum_{i=0}^{j-1} \frac{1}{i+1} \frac{d}{da_0} (b_{j-i-1}) \left[ \sum_{r=0}^i d_r \sum_{\kappa=0}^{i-r} (\ell_{\kappa} m_{i-r-\kappa} + g_{\kappa} n_{i-r-\kappa}) - h_i \right],$$

(j = 1 + 5.),

( $b_0 = 0$ , см. ф-лу (6))

Заметим, что  $|\Delta_{i-1}| \ll 1$ , а  $\beta_{i-1}^*$  есть величина угла  $\beta$  в  $(i-1)$ -ой точке при  $a_0 = a_0^*$ ,  $\beta_0 = \beta_0^*$ ,  $\delta_j = 0$  ( $j = 1, 2, \dots, i-1$ ).

3°. Уравнения связи в общем виде можно записать так:

$$y_i - \epsilon_i = y_{i-1} - \epsilon_{i-1} + \xi_i \cos \beta_i + \int_{S_{i-1}}^{S_i} \sin \beta(S) \cos \alpha dS, \quad (13)$$

где интеграл дает приращение координаты  $y$ , обусловленное магнитным полем при наличии торможения, на интервале от  $(i-1)$ -ой до  $i$ -й точки, а  $\xi_i \cos \beta_i = \frac{1}{2} \Delta s_i \delta_i \cos \beta_{i-1}^*$  (см. /1/, стр. 11) – приращение, обусловленное многократным рассеянием на том же интервале. Так как

$$\sin \beta(S) = \sin(\beta_{i-1}^* + \Delta_{i-1}) \approx \sin \beta_{i-1}^* \left(1 - \frac{\Delta_{i-1}^2}{2}\right) + \Delta_{i-1} \cos \beta_{i-1}^*, \quad (14)$$

то (13) принимает вид

$$y_i - \epsilon_i = y_{i-1} - \epsilon_{i-1} + \xi_i \cos \beta_i + \cos \beta_{i-1}^* \int_{S_{i-1}}^{S_i} \Delta_{i-1} \cos \alpha dS +$$

$$+ \sin \beta_{i-1}^* \int_{S_{i-1}}^{S_i} \cos \alpha dS - \frac{1}{2} \sin \beta_{i-1}^* \int_{S_{i-1}}^{S_i} \Delta_{i-1}^2 \cos \alpha dS. \quad (15)$$

Учитывая (5) и (10), находим произведения  $\Delta_{i-1} \cos \alpha$  и  $\Delta_{i-1}^2 \cos \alpha$ , отбрасывая при этом члены выше пятой степени по  $S$  и выше первой степени по  $A, B, \delta_i$ . После интегрирования получим

$$y_i = y_{i-1} + \epsilon_i - \epsilon_{i-1} + \frac{1}{2} \delta_i \Delta s_i \cos \beta_i + A \tilde{C}_i + B \tilde{D}_i + \sum_{j=1}^{i-1} \delta_j \tilde{D}_j + \tilde{\Phi}_i, \quad (16)$$

где, в соответствии с  $\epsilon_1^{1/2}$ ,  $\xi_1$  заменено на  $\frac{1}{2} \delta_1 \Delta s_1$ ,

$$\Delta s_1 = \sqrt{(x_1 - x_{1-1})^2 + (y_1 - y_{1-1})^2}.$$

Далее

$$\tilde{C}_1 = \tilde{m}_{4,1} \cos \beta_{1-1}^* + [\tilde{m}_{4,1} (\beta_{1-1}^* - \beta_0^*) - \tilde{m}_{5,1}] \sin \beta_{1-1}^*,$$

$$\tilde{D}_1 = \tilde{q}_1 \cos \beta_{1-1}^* + [\tilde{q}_1 (\beta_{1-1}^* - \beta_0^*) - \tilde{k}_{4,1}] \sin \beta_{1-1}^*,$$

(17)

$$\begin{aligned} \tilde{\Phi}_1 &= [\tilde{k}_{4,1} - (\beta_{1-1}^* - \beta_0^*) \tilde{q}_1] \cos \beta_{1-1}^* + \\ &+ \{ [1 - \frac{1}{2} (\beta_{1-1}^* - \beta_0^*)^2] \tilde{q}_1 + (\beta_{1-1}^* - \beta_0^*) \tilde{k}_{4,1} - \frac{1}{2} \tilde{k}_{5,1} \} \sin \beta_{1-1}^*, \end{aligned}$$

где

$$\tilde{m}_{4,1} = \sum_{j=2}^6 \frac{1}{j} m_{2,j} (S_j^j - S_{j-1}^j),$$

$$\tilde{m}_{5,1} = \sum_{j=3}^6 \frac{1}{j} m_{3,j-1} (S_j^j - S_{j-1}^j),$$

$$\tilde{q}_1 = \sum_{j=1}^5 \frac{1}{j} c_{j-1} (S_j^j - S_{j-1}^j),$$

$$\tilde{k}_{4,1} = \sum_{j=2}^6 \frac{1}{j} k_{2,j} (S_j^j - S_{j-1}^j),$$

$$\tilde{k}_{5,1} = \sum_{j=3}^6 \frac{1}{j} k_{3,j-1} (S_j^j - S_{j-1}^j),$$

$$m_{2,j} = \sum_{i=1}^{j-1} m_{1,i} c_{j-i-1}, \quad (j = 2 \div 6),$$

$$m_{3,j} = \sum_{i=2}^j c_{j-i} \sum_{\ell=1}^{i-1} m_{1,\ell} k_{1,i-\ell}, \quad (j = 2 \div 5),$$

$$k_{2,j} = \sum_{i=1}^{j-1} k_{1,i} c_{j-i-1}, \quad (j = 2 \div 6),$$

$$k_{3,j} = \sum_{i=2}^j c_{j-i} \sum_{\ell=1}^{i-1} k_{1,\ell} k_{1,i-\ell}, \quad (j = 2 \div 5)$$

Тильдой помечены величины, вычисляемые для каждого интервала в отдельности, без тильды — величины, вычисляемые для всего следа в целом.

Заметим, что в (16)  $\tilde{C}_1$  и  $\tilde{D}_1$  умножаются на малые величины A и B. Учитывая, кроме того, малость вторых слагаемых по сравнению с первыми, в выражениях (17) для  $\tilde{C}_1$  и  $\tilde{D}_1$  вторыми слагаемыми можно пренебречь. Однако получающееся при этом упрощение формул приводит лишь к небольшому сокращению вычислений.

Рассматривая (16) как рекуррентную формулу, получим уравнение связи

$$y_1 = \epsilon_1 + T_0 + A \sum_{j=1}^1 \tilde{C}_j + B \sum_{j=1}^1 \tilde{D}_j + \sum_{j=1}^1 \delta_j \tilde{M}_j + \sum_{j=1}^1 \tilde{\Phi}_j, \quad (19)$$

где

$$\tilde{M}_j = \sum_{k=j+1}^1 (\tilde{D}_k + \frac{1}{2} \Delta s_k \cos \beta_k). \quad (20)$$

Итак, по сравнению с  $\epsilon_1^{1/2}$  достигается уменьшение объема вычислений за счёт того, что, во-первых, интегрирование уравнения (7) выполняется сразу для всего следа, а в  $\epsilon_1^{1/2}$  приближенное интегрирование соответствующего уравнения проводилось путем разложения в ряд приращения  $\Delta \beta_1$  на каждом интервале в отдельности. Во-вторых, интегрирование на всем следе (здесь) заметно проще, чем вычисление величины  $\Delta \beta_1$  в  $\epsilon_1^{1/2}$  на отдельном интервале.

#### Л и т е р а т у р а

- Г.А.Бемельяненко, К.П.Ломов, Г.И.Макаренко, В.И.Мороз, И.С.Сайтов, А.П.Стельман. Определение методом максимума правдоподобия параметров заряженной частицы, движущейся в тормозящей рассеивающей среде, помещенной в неоднородное магнитное поле. Препринт ОИЯИ, Р-2829, Дубна, 1966 г.

Рукопись поступила в издательский отдел

1 ноября 1987 года.